

ROCAS FILONIANAS

Diques de Cuarzo (2)

- Monzogranito y granodiorita biotítica, porfídica, d= gris, verde-gris con marrón, d= desigual y a veces raya clara.



Calicata en dique de cuarzo con óxidos, encajando en granodiorita biotítico-porfídica (5)



Dique de cuarzo N 100°E/60°S, en granodiorita heterogénea de grano medio (6).

ROCAS IGNEAS HERCINICAS

Granitos Anatécticos Autóctonos o Parautóctonos

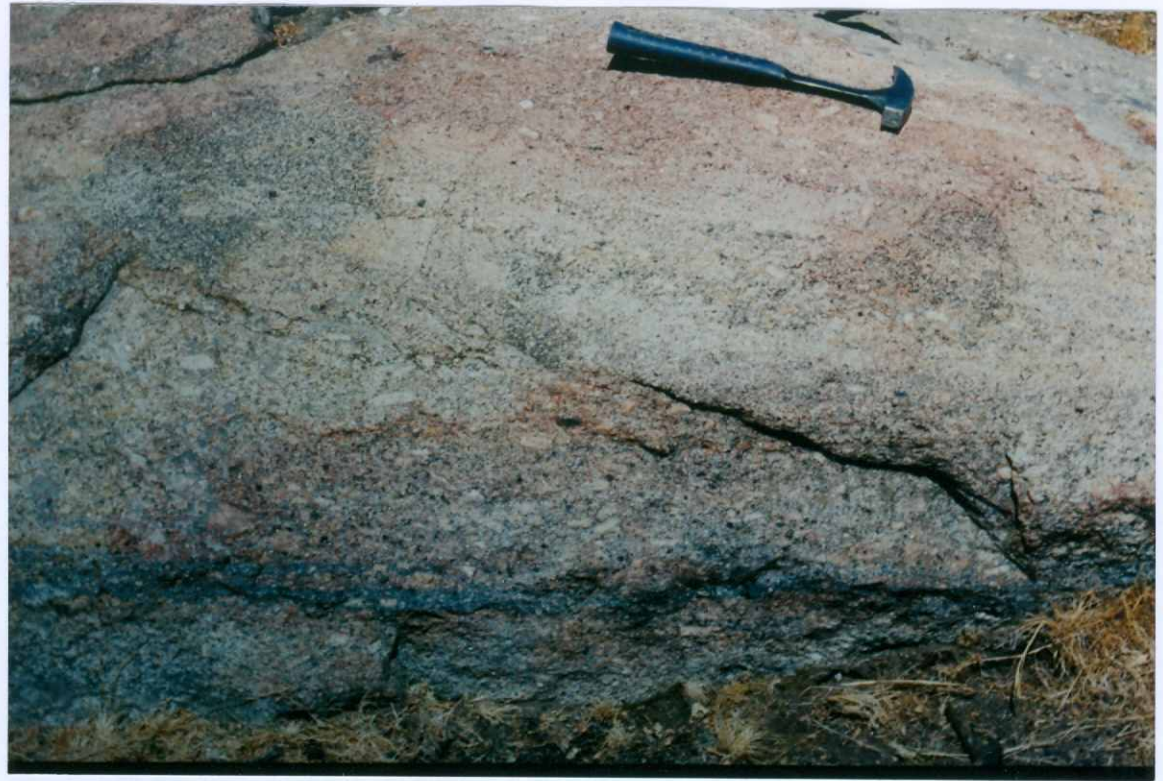
- Monzogranitos y granodioritas biotíticas, porfídicas, de grano medio-grueso con ± moscovita, ± cordierita y ± sillimanita (5).



Con orientación preferencial de fenocristales.



Con bandeados y restos migmatítico-anatécticos.



Localmente se preserva parcialmente el bandeadío litológico del protolito original (esquistos y cuarzo-esquistos), así como grumos restíticos parcialmente asimilados.

– Monzogranitos y granodiorita heterogénea biotítica, de grano medio con abundante cordierita ± sillimanita (6)



Con biotita, cuarzo y feldespatos orientados en N 70°E/30°N.



Se diferencia una facies más leucocrática subconcordante con la anisotropía que presenta la roca.



Variedad sin apenas megacristales con agregados restíticos (tipo "schlieren") biotíticos con sillimanita, marcando una fábrica N 110°E/70°N



Variedad traquitoide con concentrados bióticos dispuestos irregularmente.



Presencia de una vena de leucogranito, paralela a la foliación del granito N 140°E/60°E.



Variedad porfídica con abundantes cristales prismáticos de cordierita de tamaño próximo al cm, con fábrica subhorizontal.

- Leucogranito biotítico–moscovítico de grano medio con ± cordierita ± sillimanita (7)



Afloramiento de este tipo de rocas, con un ligero bandeadado composicional.



Afloramiento del mismo tipo de rocas con un acusado diaclasado debido al efecto del hielo en zona de cumbres.

Granitos inhomogéneos y migmatitas con restos de sedimentos (9)



Afloramiento con abundantes restitas con S_1 bien marcada y el granito con orientación grosera de los cristales dispuestos subhorizontalmente.



Xenolitos de metasedimentos micáceos englobados en los granitos inhomogéneos (9).



Idem a la anterior.



Migmatitas con estructura bandeadas marcando una foliación N 80°E/40°N.



Migmatitas con estructura estromática en la que se observan abundantes restos biotíticos plegados. Foliación N 80°E/50°N.

Granitos Alóctonos

- Monzogranito y/o granodiorita biotítica porfídica de grano medio-grueso (10).



Aspecto típico de los afloramientos de estas rocas, con bolos y formas redondeadas.



Detalle en un afloramiento con grandes bolos, en los que se aprecia una orientación magmática preferente.

- Granito biotítico-moscovítico de grano grueso (11)



Aspecto típico de este granito al Sur de Nava del Barco.



Afloramiento en forma de lomos de ballena en estos granitos, en la Garganta de Galín Gómez.



Aspecto de detalle de esta facies, en la que se aprecia el grano grueso y la textura.

- Leucogranito moscovítico ± biotita de grano medio-grueso (13)



Afloramiento de esta facies al NO de Nava del Barco (Cerro de las Cabezuelas).



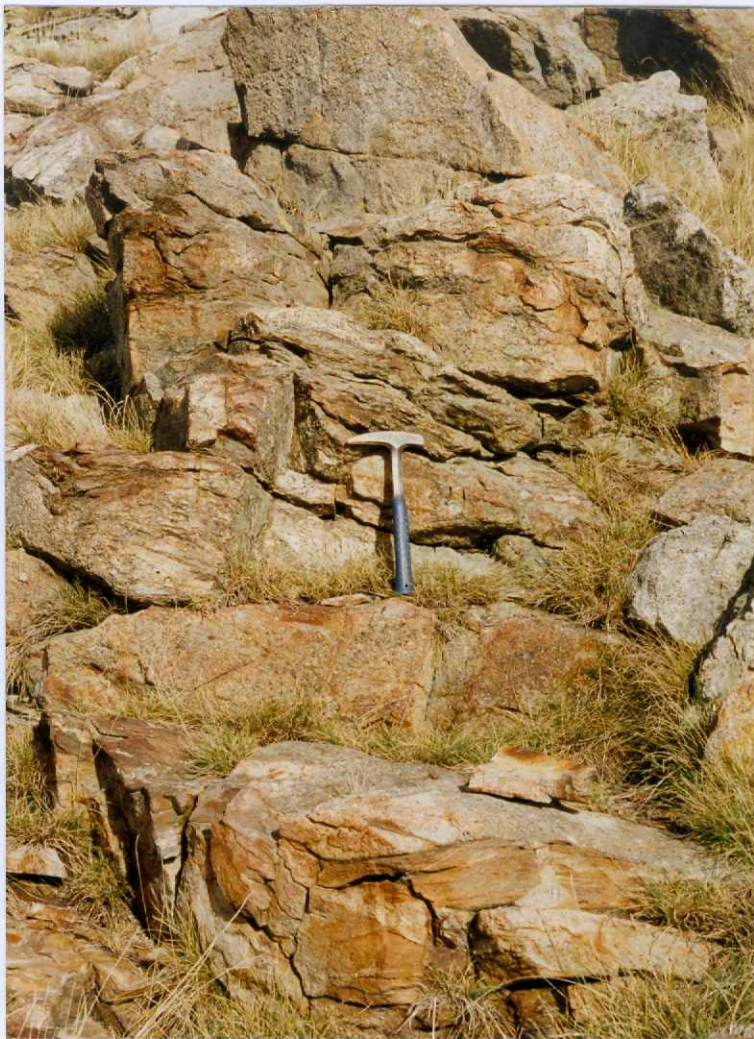
Detalle de la misma facies con algunos diferenciados cuarzo-feldespáticos.

- Leucogranito moscovítico de grano fino (14)



Dique aplítico dentro de granito biotítico–moscovítico de grano grueso.

- Esquistas y cuarzoesquistos biotítico–moscovíticos (15)



Megaenclave de esquistas con venas graníticas subparalelas y transversales a la esquistosidad.



Cuarzoesquistos con sulfuros y óxidos removilizados a las diversas superficies de discontinuidad.

- Niveles migmatizados (16)



Diferenciados cuarzo-feldespáticos plegados en los niveles migmatizados.



Fractura paralela al Dique de Plasencia N 50°E/85°E, tapizada de cuarzo con estrías subhorizontales.



Nódulo cuarzo–pegmatoide con estrías N-S.



Banda de cizalla frágil
N 110°E/90° en monzogranitos
y/o granodioritas biotíticas
porfídicas de grano medio-grueso
(10).

Dique de cuarzo cizallado y
plegado en banda N 120°E/80°N





Pliegues de Fase 3 producidos por cizallas subhorizontales en neises migmatíticos (niveles migmatizados) (16).



Banda deformada (con fuerte alteración).



Ortöneis producido por cizalla dúctil N 115°E/65°N.